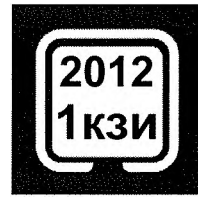


БЕЗОПАСНОСТЬ ИНФОРМАЦИОННЫХ ТЕХНОЛОГИЙ



Министерство образования и науки РФ
Национальный исследовательский
ядерный университет «МИФИ»
ВНИИПВТИ

Журнал зарегистрирован
в Государственном комитете
Российской Федерации
по печати.

Свидетельство № 017789.
Издается с февраля 1994 г.

Журнал БИТ
включен в Перечень ведущих
рецензируемых научных журналов и
изданий, в которых должны быть
опубликованы основные научные
результаты диссертации на соискание
ученой степени доктора и кандидата
наук
(редакция апреля 2008 г.).

Специальный выпуск «Комплексная защита
информации-ХVII»

Редакционная коллегия:

Старовойтов А. В. (гл. редактор, д.т.н., профессор, ген. директор
Научно-технического и информационного консорциума ЦИТИС
– ИнтерЭВМ – ВНИИЦ, зав. кафедрой «Защита информации»
НИЯУ МИФИ);

Дворянкин С. В. (зам. гл. редактора, д.т.н., профессор, декан
факультета «Кибернетика и информационная безопасность»
НИЯУ МИФИ);

Коняевский В. А. (зам. гл. редактора д.т.н., науч. руководитель
ВНИИПВТИ, профессор НИЯУ МИФИ);

Горбатов В. С. (отв. секретарь, к.т.н., доцент НИЯУ МИФИ);

Батурин Ю. М. (член-корр. РАН; д.ю.н.; директор Ин-та истории
естествознания и техники РАН; зав. кафедрой «Компьютерное
право» НИЯУ МИФИ);

Будзко В. И. (д.т.н., профессор, зам. директора ИПИ РАН,
профессор НИЯУ МИФИ);

Дураковский А. П. (к.т.н., доцент НИЯУ МИФИ, руководитель
Головного учебно-научного центра по проблемам информационной
безопасности в высшей школе);

Жуков И. Ю. (д.т.н., профессор, зам. генерального директора
ФГУП «ЦНИИ ЭИСУ»);

Запечников С. В. (д.т.н., профессор НИЯУ МИФИ);

Иванов М. А. (д.т.н., профессор, зав. кафедрой «Компьютерные
системы и технологии» НИЯУ МИФИ);

Коваленко А. П. (д.т.н.; профессор; начальник ИКСИ Академии
ФСБ России; Председатель Совета УМО по образованию в
области информационной безопасности);

Крылов Г. О. (д.ф.-м.н., к.ю.н., профессор, профессор НИЯУ
МИФИ);

Лаврухин Ю. Н. (к.т.н., зам. ген. директора Службы корпора-
тивной защиты ОАО «Газпром», зав. кафедрой «Стратегические
информационные исследования» НИЯУ МИФИ);

Малюк А. А. (к.т.н.; профессор; профессор НИЯУ МИФИ);

Модяев А. Д. (д.т.н., профессор, зав. кафедрой «Информатика и
процессы управления» НИЯУ МИФИ);

Миняев В. А. (д.т.н., профессор, проректор Российского нового
университета (РосНоу));

Подуфалов Н. Д. (д.ф.-м.н., профессор, академик-секретарь
отделения профессионального образования РАО, зав. кафедрой
«Криптология и дискретная математика» НИЯУ МИФИ);

Росс Г. В. (д.э.н., профессор, акад. РАЕН, МАИ, член-корр. АЭН,
зам. директора ВНИИПВТИ по УМР);

Сенаторов М. Ю. (д.т.н., зам. Председателя Банка России, зав.
кафедрой «Информационная безопасность банковских систем»
НИЯУ МИФИ);

Тарасов А. А. (д.т.н., профессор, директор института информа-
ционных наук и технологий безопасности РГГУ, профессор
НИЯУ МИФИ).

Верстка: М. В. Данилова

Дизайн: М. А. Каганова

Редактор: С. В. Коняевская

Технический редактор: Н. Ф. Зернова

Корректор: А. В. Духанина

Оригинал-макет: редакционно-издательский
сектор ВНИИПВТИ

МОДЕЛИРОВАНИЕ И АНАЛИЗ ПРОЦЕССА СИНХРОНИЗАЦИИ НЕЙРОННЫХ СЕТЕЙ ДЛЯ ОБМЕНА КРИТИЧЕСКОЙ ИНФОРМАЦИЕЙ

Идея использования нейросетевых технологий для криптографических приложений связана с проблемой обмена ключами через незащищенные каналы передачи. Протокол обмена ключами, который используется в нейросетевых криптографических технологиях, опирается на синхронном «обучении» сетей (A и B – со стороны отправителя и получателя сообщений соответственно) [1]. Процесс «обучения» двух нейронных сетей с использованием их общих параметров ведется до появления так называемых идентичных весовых коэффициентов (векторов весов). Такое состояние сетей называют состоянием синхронизации. Сети обмениваются между собой выходными и входными параметрами; при этом секретными должны оставаться внутренние значения весовых коэффициентов. Следовательно, значения весовых коэффициентов могут использоваться как секретные ключи в процессе передачи информации по незащищенным каналам.

Архитектуру сети (известную как TPM – Tree Parity Machine, рис.1) составляет трехслойный перцептрон с одним скрытым слоем, который состоит с K нейронов. Каждый из них имеет N входов. Поэтому размер входного вектора равен $K*N$. Соответствующие входные числа обозначим как X_{kj} , где $k=1, 2, \dots, K$ и $j=1, 2, \dots, N$. Для упрощения полагаем, что каждый элемент вектора X (информация на входе сети) принимает только бинарные величины: $X_{kj} = \pm 1$. И, наконец, величины вектора весов (W) – это целые числа, находящиеся в некотором интервале: $[-L, L]$ [2].

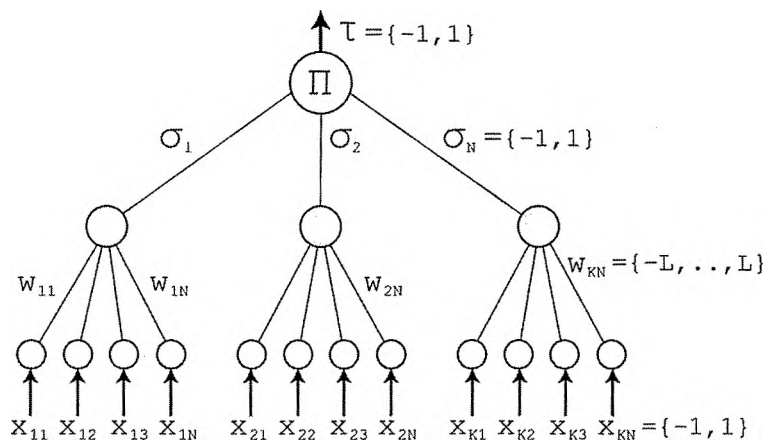


Рис.1. Архитектура нейронной сети

Сначала каждая из сетей генерирует свой собственный весовой коэффициент. Таким образом, начальные состояния сетей – разные, и начальный коэффициент является величиной секретной. После этого каждая из сетей «обучается» с использованием выходной информации (τ) другой сети.

Третья сторона (интруз – такая же нейронная сеть, пытающаяся синхронизироваться с сетями A и B), не может быстро восстановить эти секретные параметры. Однако, если третья сторона представляет собой объединение нескольких или большого числа таких же сетей, то вероятность доступа к секретной информации составляет критическую величину.

Описанная здесь технология породила несколько типов атак на сети A и B , наиболее эффективными из которых считаются геометрическая и генетическая [3, 4]. Первая относится к числу наиболее известных. В этом случае вероятность синхронизации интруза (только одна сеть) с сетями A и B уменьшается геометрически с ростом L . Статистические результаты, полученные в результате моделирования трехстороннего процесса (участвуют сети A , B и третья – сеть интруза), показали, что близкой к оптимальной является структура сетей A и B при $K=3$. Эффективность генетической атаки (популяция сетей третьей стороны может составлять несколько тысяч) значительно снижается при увеличении значений весовых коэффициентов.

При реализации любой атаки на сети A и B чрезвычайно важным является определение состояния синхронизации между A и B . Иначе говоря, установление того, после какого числа шагов (циклов) обмена данными между сетями при одинаковых и неизменяющихся выходных сигналах ситуацию следует трактовать как наступление состояния синхронизации.

Целью проведенных нами исследований было определение зависимости наступления состояния синхронизации между сетями A и B в зависимости от параметров сетей. Исследовались два случая: компьютерная программа симуляции работы сетей «имеет» доступ к весовым коэффициентам обеих сетей и может остановить (на основе анализа этих параметров) процесс синхронизации (обучения сетей); во втором случае решение о наступлении состояния синхронизации принимается после определенного числа шагов неизменных выходных значений. Кроме того, изучению и анализу подвергались длительности периодов (максимальное число циклов), в течение которых состояние синхронизации не нарушается.

При этом предполагалось, что один цикл состоит из следующих операций:

- 1) генерирование входного вектора X для сетей A и B ,
- 2) вычисление выходных значений τ^A и τ^B ,
- 3) обмен выходными значениями: τ^A – к сети B и τ^B – к A ,
- 4) адаптация (обучение) сетей.

Для каждой пары сетей выполнено не менее 1000 опытов. При этом сети характеризовались следующими параметрами: $K=3$, $N=4$, $L \in [5;50]$. Для каждого сочетания $K-N-L$ получены распределения количества опытов от числа циклов, после которых наступило состояние синхронизации. На рис.2 представлена одна из таких гистограмм, которая характеризует сети с параметрами 3-4-5.

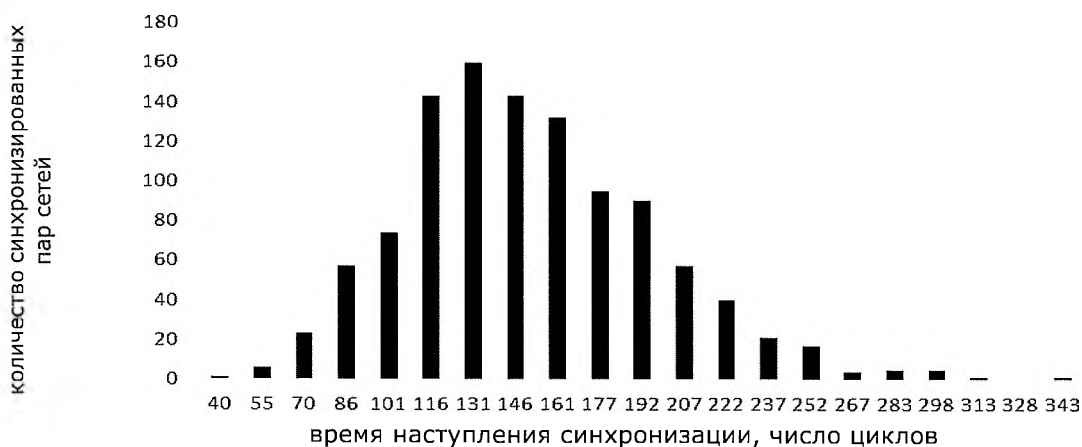


Рис.2. Распределение сетей по минимальному числу циклов обучения для наступления состояния синхронизации при $K=3$, $N=4$, $L=5$

Вторая из проанализированных ситуаций касается исследования наибольшего времени, в течение которого сети A и B обмениваются постоянной и неизменной информацией до наступления состояния полной синхронизации (сети находятся в состоянии обучения). Эта часть эксперимента выполнена для сетей с параметрами $K=3$, $N=4$, $L \in [4;100]$. Изучение результатов должно помочь в определении оптимального числа циклов обучения сетей, т. е. принятия решения об остановке процесса синхронизации.

Обобщенные статистические характеристики выполненных исследований в этой части приведены в таблице. Подтверждена почти очевидная закономерность: длительность максимального периода обмена неизменной информацией (колонка НИ в таблице) возрастает с увеличением значений весовых коэффициентов.

Таблица. Статистические результаты моделирования процессов синхронизации двух нейронных сетей

Сеть, $K-N-L$	Среднее время синхронизации, кол-во циклов	3 квартиль	4 квартиль	НИ, кол-во циклов	НИ, кол-во циклов для 3 квартиля, %	НИ, кол-во циклов для 4 квартиля, %
3-4-4	91,17	109,00	222	52	47,7	23,4

3-4-10	539,55	633,00	1194	154	24,0	13,0
3-4-20	2112,65	2459,00	5520	355	14,0	6,0
3-4-30	4557,41	5346,50	10286	683	13,0	7,0
3-4-40	8330,13	9801,00	17772	1022	10,0	6,0
3-4-50	12906,70	15003,75	26935	1549	10,0	6,0
3-4-60	18277,36	21230,25	40005	2014	9,0	5,0
3-4-70	24564,41	28231,00	62152	2035	7,0	3,0
3-4-80	32589,64	37747,00	71199	2859	8,0	4,0
3-4-90	40335,44	46884,00	93895	3287	7,0	4,0
3-4-100	49642,65	58387,00	97859	4653	8,0	5,0

Для примера, при небольших значениях весовых коэффициентов (возьмем первую строку таблицы) обмен одинаковыми и неизменными значениями весовых коэффициентов продолжался в среднем 52 цикла (пятая колонка), а максимальное время процесса синхронизации при этом составило 222 цикла (четвертая колонка). Это означает, что период взаимного обучения сетей до наступления состояния синхронизации, в течение которого пересылаемая между сетями информация не меняется (что можно оценить, как наступление состояния синхронизации) может составить 23,4% от наибольшей длительности процесса синхронизации (третий квартал составляет половину четвертого).

СПИСОК ЛИТЕРАТУРЫ:

1. *Kanter W., Kinzel E.* Secure exchange of information by synchronization of neural networks// *Europhys. Lett.* 57. 2002, P. 141–147.
2. *Плонковски М., Урбанович П.П.* Криптографическое преобразование информации на основе нейросетевых технологии// *Труды БГТУ. Сер. VI. Физико-математические науки и информатика.* Мн.:БГТУ, 2005. С. 161–164.
3. *Klimov A., Mityagin A., Shamir A.* Analysis of Neural Cryptography // *Advances in Cryptology—ASIACRYPT*, 2002. – Springer, Heidelberg, 2003. P. 288–289.
4. *Ruttor A., Kinzel W., Naeh R., Kanter I.* Genetic attack on neural cryptography // *Phys. Rev. E*, 73(3):036121, 2006.